

УДК 533.6.071.088

© 1991 г.

**В. М. НЕЙЛАНД, Н. Н. ХОЗЯЕНКО**

**БЛОКИРОВКА ПОТОКА ПРИ ИСПЫТАНИЯХ МОДЕЛЕЙ  
В ПЕРФОРИРОВАННОЙ РАБОЧЕЙ ЧАСТИ АЭРОДИНАМИЧЕСКОЙ  
ТРУБЫ ПРИ  $M_\infty \rightarrow 1$**

На основании оценок трансзвуковой теории малых возмущений в [1] показано, что для устранения индукции перфорированных стенок трубы вблизи  $M_\infty=1$  их проницаемость  $R$  должна изменяться по закону  $R_{op} \sim 1/M_\infty^2 - 1$ , т. е. теоретически  $R_{op} \rightarrow 0$  при  $M_\infty \rightarrow 1$ , а практически из-за влияния вязкости величина  $R_{op} \neq 0$ , но весьма мала. Однако испытания моделей при малой проницаемости стенок и  $M_\infty \rightarrow 1$  могут быть осложнены блокировкой (запиранием) потока, т. е. невозможностью эвакуировать нужный расход воздуха через перфорированные стенки. Это явление исследуется в данной работе.

В классических работах по методике эксперимента в трансзвуковых аэrodинамических трубах (например, в [2]) описаны два случая блокировки потока в трубе. Первый имеет место в трубе с жесткими непроницаемыми стенками в присутствии модели. В этом случае в минимальном сечении, примерно соответствующем мидделю модели, возникает местная скорость звука и дальнейшее повышение скорости потока на входе в рабочую часть невозможно. Попытки повысить скорость набегающего потока, например повышением давления в форкамере, приводят к повышению давления во всей области течения перед скачком, замыкающим сверхзвуковую область течения в трубе, и к перемещению этого скачка вниз по потоку. При этом число Маха на входе в рабочую часть не изменяется, так как оно определяется отношением площади критического сечения к площади входного сечения трубы. Собственно говоря, перфорация стенок рабочей части была изобретена как раз для преодоления этого эффекта путем перепуска лишнего расхода газа в обход рабочей части 1 через камеру давления 2 и щель 3 из камеры давления в диффузор 4 (фиг. 1).

Второй режим блокировки возникает в том случае, когда размер щели в конце камеры давления не в состоянии пропустить весь расход воздуха, вытекающего из потока в камеру давления. Обычно это бывает, когда начальный участок перфорированных стенок трубы служит расходным соплом для получения малых сверхзвуковых скоростей потока. Расход вытекающего воздуха увеличивается при увеличении этой сверхзвуковой скорости и начиная с некоторой его величины в дозвуковой струе, истекающей из щели в конце рабочей части, возникает местная скорость звука – течение запирается (подробнее об этом см. [2, гл. VI]).

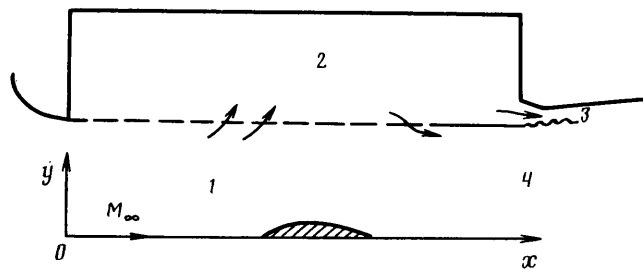
В данной работе исследуется третий режим блокировки течения, связанный с конечностью длины перфорированных стенок трубы. Действительно, в бесконечно длинных проницаемых границах блокировка невозможна, так как весь вытесненный телом воздух может вытечь через стенки даже при их очень малой проницаемости. Если же длина проницаемой границы конечна, в принципе возможна блокировка течения при малой степени проницаемости.

1. Рассмотрим симметричное обтекание тонкого профиля хорды длиной  $c$  и относительной толщиной  $\tau$  в канале полужирины  $H$  (фиг. 1). Покажем, что для приближенных оценок при  $M_\infty \rightarrow 1$  можно пользоваться одномерным подходом. Начнем со случая непроницаемых стенок. Уравнение расхода дает оценку

$$\Delta(\rho u)/(\rho u) \sim \tau c/H \quad (1.1)$$

Из уравнения продольного импульса следует

$$\Delta p_x/p \sim \Delta u_x/u \quad (1.2)$$



Фиг. 1

где символы  $\Delta p_x$  и  $\Delta u_x$  означают характерное изменение параметров вдоль оси  $x$ .

Близость скорости потока к звуковой позволяет записать

$$\Delta(\rho u)/\rho u \sim (\Delta u_x/u)^2 \sim (\Delta p_x/p)^2 \quad (1.3)$$

что следует из наличия экстремума у функции  $q(M) = \rho u / \rho_* u_*$  при  $M=1$ , в силу чего разложение в ряд Тейлора этой функции вблизи  $M=1$  начинается с квадратичных членов.

Из (1.1)–(1.3) получаем

$$\Delta p_x/p \sim (\tau c/H)^{1/2} \quad (1.4)$$

Характерное изменение давления поперек канала  $\Delta p_y$  найдем из уравнения для поперечного импульса и граничного условия  $v/u \sim \tau$

$$\Delta p_y \sim (\partial p / \partial y) H \sim \rho u v H / c \sim \rho u^2 \tau H / c$$

Откуда имеем

$$\Delta p_y/p \sim \tau H / c \quad (1.5)$$

Сравнивая (1.4) и (1.5), видим, что

$$\Delta p_y / \Delta p_x \sim \tau^{1/2} (c/H)^{-1/2}$$

Таким образом, малость толщины тела и близость скорости течения к звуковой делают поперечный перепад давления в канале много меньше продольного (обычно  $H \sim c$ ). Тем самым показано, что течение в таком канале в первом приближении описывается уравнениями одномерной газовой динамики. В качестве примера сравним условие блокировки потока в трубе с жесткими стенками, полученное по одномерной теории и по уточненной теории Гудерлея [3]. Последняя дает для числа  $M_{ch}$ , достижимого на входе в канал, оценку

$$|1 - M_{ch}| \sim \tau^{1/2} (H/c)^{-1/2} \quad (1.6)$$

тогда как по одномерной теории уравнение неразрывности между входным и критическим сечениями дает соотношение  $\rho_* u_* (H - \tau c) = (\rho u)_{ch} H$ , из которого находим

$$q(M_{ch}) = 1 - \tau c / H \quad (1.7)$$

Функция  $q(M)$  вблизи  $M=1$  представима в виде

$$q(M_{ch}) = 1 - 2(\kappa + 1)^{-1} (M_{ch} - 1)^2 + \dots$$

что с учетом (1.7) дает

$$|1 - M_{ch}| \sim \tau^{1/2} (H/c)^{-1/2} \quad (1.8)$$

Сравнивая (1.6) и (1.8) и принимая во внимание, что  $8/15 \approx 1/2$ ,  $2/5 \approx 1/2$ , а также тот факт, что соотношение (1.6) получено на основании приближенного уравнения Кармана, делаем вывод об удовлетворительном

совпадении одномерной теории и более точной теории, приводящей к соотношению (1.6).

Наличие пористой верхней границы в канале не изменит полученные оценки, если скорость перетекания через стенку  $v$  мала. В этом случае, воспользовавшись принципом отвердевания линий тока, можно рассматривать течение в канале с изогнутой верхней стенкой, наклон которой мал, и тем самым свести задачу к исследованной ранее. Следовательно, наличие малого параметра (толщины тела, скорости перетекания газа через стенки и т. п.) является условием применимости одномерной теории для приближенного описания трансзвуковых течений газа в трубе с перфорацией.

Запишем в такой постановке уравнение расхода между входным ( $x=0$ ) и минимальным ( $x=x_1$ ) сечениями трубы

$$\int_{y_w}^H \rho(x_1, y) U(x_1, y) dy + \int_0^{x_1} \rho(x, H) v(x, H) dx = \rho_\infty u_\infty H \quad (1.9)$$

Предположение о квазиодномерности позволяет считать, что

$$\int_{y_w}^H \rho(x_1, y) U(x_1, y) dy = \langle \rho(x_1) \rangle \langle U(x_1) \rangle (H - \tau c) + \epsilon$$

где  $\epsilon$  — малая величина, учитываяющая отличие потока от одномерного в критическом сечении. Отнесем средние плотность  $\langle \rho(x_1) \rangle$  и скорость  $\langle U(x_1) \rangle$  к соответствующим параметрам в критическом сечении; в результате получим

$$q(M_1)(1 - \tau c/H) + Q_r + \epsilon = q(M_\infty)$$

$$Q_r = \frac{1}{\rho * u * H} \int_0^{x_1} \rho(x, H) v(x, H) dx$$

где  $Q_r$  — относительный расход через перфорированную стенку между сечениями  $x=0$  и  $x=x_1$ .

Если местная сверхзвуковая зона на профиле и скачок, ее замыкающий, доходят до стенки, то в критическом сечении достигается скорость звука и  $q(M_1)=1$ . Тогда соотношение

$$q(M_{ch}) = 1 - \tau c/H + Q_r + \epsilon \quad (1.10)$$

определяет предельное число  $M_{ch}$ , которое может быть получено во входном сечении трубы. Для непроницаемой границы  $Q_r=0$  и получаем зависимости (1.7), (1.8) числа  $M_{ch}$  от затенения потока миделем модели  $\sigma=\tau c/H$ .

Как известно, функция  $q(M_\infty)$  имеет два корня, соответствующие дозвуковым и сверхзвуковым режимам. Поэтому для каждого значений  $\sigma$  и  $Q_r$  существует диапазон чисел  $M_\infty$  вблизи единицы  $1 - \Delta M_1 \leq M_\infty \leq 1 + \Delta M_2$ , в который попасть невозможно. Попытки реализовать на входе в рабочую часть течения с числами  $M_\infty$  из этого диапазона, например путем повышения давления в форкамере, приведут к полной перестройке течения. При дозвуковых скоростях это выразится в повышении давления в набегающем на модель потоке (аналог «блокировки» потока в жестких стенах). При сверхзвуковых скоростях перед моделью возникнет отошедшая волна уплотнения, положение и интенсивность которой будут отличаться от соответствующих параметров для безграничного обтекания.

Размер зоны недоступности  $\Delta M_{1,2}$  определяется затенением потока  $\sigma$  и расходом через границу  $Q_R$ . Чем больше этот расход, тем ближе к единице реализуемое число  $M_\infty$ . Согласно закону Дарси для проницаемой поверхности, расход  $Q_R$  можно связать с перепадом давления на стенке соотношением

$$Q_R = \frac{q(M_\infty) R}{\kappa M_\infty^2 H} \int_0^{x_1} \frac{p(x, H) - p_k}{p_\infty} \frac{\rho(x, H)}{\rho_\infty} dx$$

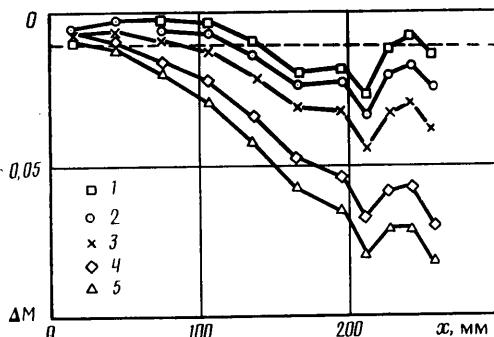
где  $R$  – параметр проницаемости, а  $p_k$  – давление в камере за перфорацией. Видно, что  $Q_R$  пропорционально проницаемости стенки, длине  $x_1$  от начала рабочей части до критического сечения и зависит от распределения давления на стенке. На участке стенки трубы  $x \leq x_1$  происходит в основном вытекание газа из потока ( $Q_R > 0$ ), что при определенных условиях позволяет избежать блокировки и получить  $M_\infty = 1$ .

Если же  $R$  мало или затенение потока велико, то блокировка избежать не удается. Если при этом повышение числа  $M_\infty$  осуществляется путем повышения давления в форкамере, то блокировка потока приводит к повышению давления во всем потоке перед моделью, вплоть до начала рабочей части. В результате возмущенной присутствием модели оказывается вся область набегающего потока и определить число  $M_\infty$ , соответствующее «невозмущенному набегающему потоку», не представляется возможным. Признаком появления этого режима при увеличении давления в форкамере для дозвуковых течений служит отличие статического давления в контрольном сечении при наличии модели в трубе от соответствующей величины в пустой трубе, превышающее заданную погрешность.

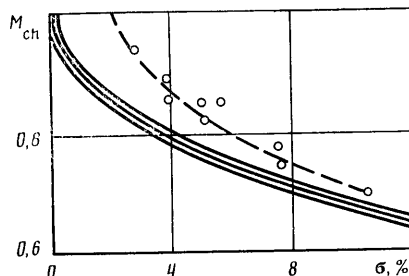
Таким образом, требование [1]  $R_{op} \sim \sqrt{|M_\infty^2 - 1|}$  приходит в противоречие с условием (1.10), для выполнения которого желательно иметь  $R$  как можно большим. Разрешение этого противоречия возможно лишь при наличии секционно-регулируемой перфорации. Начальные участки такой рабочей части имеют относительно большую проницаемость, чтобы обеспечить прохождение необходимого расхода  $Q_R$ . А участки в зоне расположения модели должны иметь проницаемость  $R \sim \sqrt{|M_\infty^2 - 1|}$ , обеспечивающую минимум индукции в трансзвуковом диапазоне.

2. Для экспериментального исследования эффекта блокировки околовзвукового потока в трубе с малой проницаемостью стенок были проведены испытания серии профилей в трубе Т-115 ЦАГИ. Она представляет собой установку периодического действия, работающую от газогольдера с выхлопом в атмосферу. Рабочая часть трубы имеет сплошные боковые и перфорированные горизонтальные стенки. Высота рабочей части – переменная (100, 150 и 200 мм). Перфорированные панели съемные, коэффициент перфорации  $f$  в опытах составлял 3,2; 7,3; 12,7; 20 и 50%. Были испытаны три аффинноподобных профиля, образованных из дуг окружности. Относительная толщина профилей составляла 7,5; 10 и 14%, размер хорды  $c = 75$  мм. Тем самым загрузка сечения трубы  $\sigma$  изменялась от 2,8 до 10,5%. В ходе эксперимента измерялось статическое давление перед профилями на боковой стенке трубы вдоль ее центральной линии. Целью эксперимента было определение наименьшей загрузки  $\sigma$ , начиная с которой давление в некотором выбранном контрольном сечении не зависит от наличия в трубе модели.

Типичные результаты эксперимента показаны на фиг. 2. Здесь представлено распределение  $\Delta M$  (разницы между числами Маха в экспериментах с моделью и без модели) перед профилем с  $\tau = 7,5\%$  при ширине рабочей части  $H = 100$  мм и перфорации стенок  $f = 3,2\%$ . Носику профиля соответствует  $x = 400$  мм. Кривые 1–5 соответствуют числам  $M_\infty = 0,7; 0,81; 0,85; 0,91; 0,93$ . Если принять в качестве допустимого отклонения



Фиг. 2



Фиг. 3

числа  $M$  в контрольном сечении трубы с моделью от числа  $M$  в пустой трубе  $\Delta M=0,01$  (штриховая линия на фиг. 2), то можно построить зависимости  $M_{ch}(\sigma)$  наибольшего числа  $M_\infty$ , реализуемого на входе в рабочую часть при данной загрузке сечения  $\sigma$ .

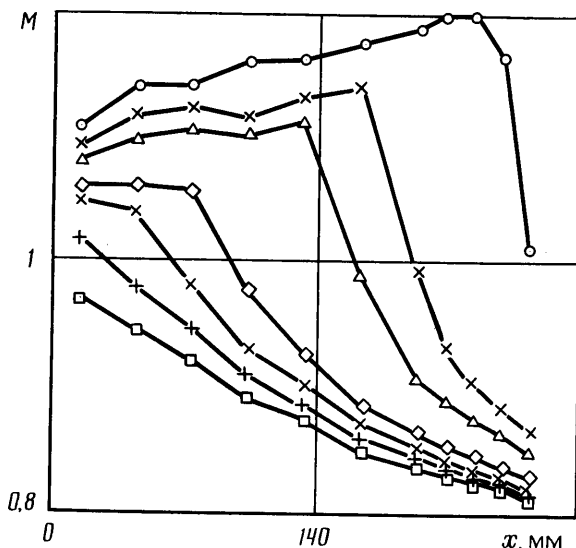
Пример такой зависимости для перфорации стенок 3,2% приведен на фиг. 3. Всего было исследовано девять вариантов загрузки сечения (три модели при трех высотах рабочей части). Результаты всех испытаний расположены на одной экспериментальной кривой (штриховая линия). Это говорит о независимости  $M_{ch}$  от относительной толщины моделей и от относительной ширины канала  $H/c$ , т. е. о применимости для этих оценок изложенного квазидномерного подхода.

Для сравнения на фиг. 3 представлены расчеты при  $f=0$  (жесткие стенки) по таблицам газодинамических функций с заданной погрешностью  $\Delta M=\pm 0,01$  (сплошные линии). Различие между непроницаемыми стенками и стенками малой (3,2%) перфорации исчезает при очень больших загрузках сечения, что вполне естественно.

Для больших коэффициентов перфорации ( $f \geq 13-50\%$ ) явление блокировки обнаружить не удалось во всем исследованном диапазоне параметров.

Описанные выше экспериментальные результаты касались дозвуковых скоростей потока. Методика определения  $M_\infty$  при малых сверхзвуковых скоростях и малой проницаемости стенок имеет свою специфику. Прежде всего она связана с тем, что очень часто для получения малых сверхзвуковых скоростей используют разгон потока на начальном участке перфорации (расходное сопло). При этом протяженность зоны неравномерности потока увеличивается с уменьшением  $f$ . Тем самым положение контрольного сечения, в котором измеряют параметры набегающего потока, удаляется от начала рабочей части.

Известно, что при  $M_\infty \geq 1$  модель обтекается с образованием отошедшей ударной волны, расстояние до которой от носика модели увеличивается при  $M_\infty \rightarrow 1$ . Приближение этой волны к контрольному сечению может вызвать (при достаточной интенсивности скачка) искажение измеряемого  $M_\infty$ . Типичные результаты, полученные в эксперименте при сверхзвуковых скоростях, приведены на фиг. 4. Здесь представлено распределение чисел  $M$  перед профилем с  $\tau=10\%$  при ширине рабочей части  $H=100$  мм, перфорации стенок  $f=3,2\%$  и различных  $M_\infty > 1$ . Носик профиля расположен в точке с координатой  $x=400$  мм. Видно, что в ряде случаев отошедшая головная волна достигает контрольного сечения, не оставляя тем самым перед моделью области с постоянным значением  $M$ , которая могла бы служить для определения условий невозмущенного набегающего потока.



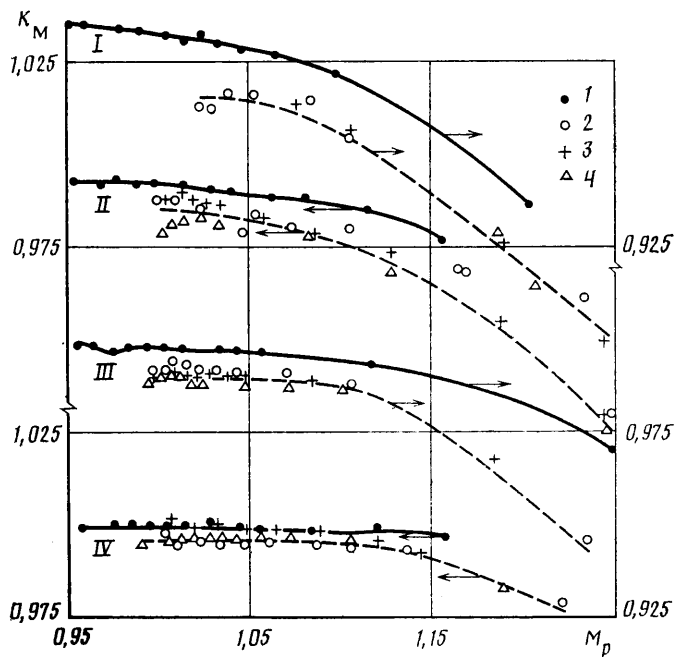
Фиг. 4

Несколько слов следует сказать о способе определения  $M_\infty$  по статическому давлению в камере, окружающей перфорацию (соответствующую величину обозначим  $M_p$ ). Такой методикой пользуются, в частности, во многих промышленных трансзвуковых трубах. При этом возможное отличие  $M_p$  от среднего числа  $\langle M \rangle$  в зоне расположения модели устраняется введением поправочного коэффициента поля  $K_m = \langle M \rangle / M_p$ , по результатам измерений давления на стенках в пустой трубе. Такой подход справедлив, если величина  $K_m$  не зависит от наличия или отсутствия модели в трубе. Установить этот факт можно лишь при сверхзвуковой скорости набегающего потока, когда есть достаточный участок перед моделью, на котором  $M(x) = \text{const}$ .

На фиг. 5 представлены коэффициенты поля для пустой трубы и трубы с моделями. Цифрами 1–4 обозначены случаи  $f=3,2, 7,3, 12,7$  и  $20\%$ . Данные 1 соответствуют условиям пустой трубы, 2–4 – профилям с  $\tau = 7,5; 10$  и  $14\%$ . Эти результаты относятся к ширине рабочей части  $H = 100$  мм. Видно, что при малой проницаемости ( $3\text{--}7\%$ ) наличие модели в трубе заметно изменяет коэффициент поля. Следовательно, общепринятая методика определения  $M_\infty = M_p K_m$  для малой проницаемости не пригодна. При проницаемости  $f \geq 13\%$  можно пользоваться в качестве  $M_\infty$  числом  $M_p$ , определенным по статическому давлению в камере.

Таким образом, при работе с малой, нерегулируемой по длине проницаемостью стенок можно рекомендовать следующую методику определения параметров невозмущенного набегающего потока: при дозвуковых скоростях – по статическому давлению в потоке в контрольном сечении, максимально удаленном от модели (следя за тем, чтобы отличие давления от соответствующей величины в пустой трубе не превышало допустимой погрешности); при сверхзвуковых скоростях – по уровню среднего статического давления в потоке перед моделью на участке, где  $p(x) = \text{const}$  (если таковой имеется).

Изложенные рекомендации касаются создания необходимых условий для безындукционного обтекания моделей – подобия по числу  $M_\infty$ . Вопрос о достаточных условиях – это создание таких локальных условий на границе потока, при которых отсутствует искажение обтекания модели по-



Фиг. 5

сравнению с безграничным потоком. Как уже упоминалось, создание таких условий возможно лишь с помощью регулируемой перфорации стенок трубы.

Авторы благодарят Ю. Б. Лифшица за полезные замечания, высказанные при обсуждении работы.

#### СПИСОК ЛИТЕРАТУРЫ

1. Нейланд В. М. Оптимальная проницаемость стенок аэродинамической трубы при малых сверхзвуковых скоростях // Изв. АН СССР. МЖГ. 1989. № 4. С. 187–189.
2. Гробзовский Г. Л., Никольский А. А., Свищев Г. П., Таганов Г. И. Сверхзвуковые течения газа в перфорированных границах. М.: Машиностроение, 1967. 144 с.
3. Гудерлей К. Г. Теория околозвуковых течений. М.: Изд-во иностр. лит., 1960. 421 с.

Москва

Поступила в редакцию  
5.VI.1990